

**ФОРМИРОВАНИЕ ДЛИННОИМПУЛЬСНОГО
ЭЛЕКТРОННОГО ПУЧКА
ВЫСОКОЙ ПЛОТНОСТИ И ИССЛЕДОВАНИЕ
ПРОСХОДЯЩИХ В НЕМ ПРОЦЕССОВ
ПРИ ВЗАИМОДЕЙСТВИИ
С ТВЕРДОТЕЛЬНОЙ МИШЕНЬЮ**

A.B.Архипов, Г.Г.Соминский

Для решения некоторых актуальных проблем УТС, например для реализации абляционного ускорения топливных и диагностических таблеток в крупных токамаках, необходимы длинноимпульсные электронные пучки (ЭП) высокой плотности [1,2]. Создание пучков с удельной энергией $w \geq 10^3$ Дж/см² длительностью $\tau \geq 10^{-4}$ с представляет собой сложную задачу, решению которой препятствуют, в частности, специфические процессы при взаимодействии ЭП с твердым телом. Ниже сообщаются результаты работы по формированию длинноимпульсного ЭП и исследованию происходящих в нем процессов при взаимодействии с мишенью из углерода.

Схематическое изображение системы формирования ЭП показано на рис. 1. Пучок создавался магнитоэкранированной пушкой Пирса с гексаборид-лантановым катодом (1) диаметром 42 мм. По выходе из пушки поток электронов сжимался в нарастающем магнитном поле вблизи магнитного экрана (3), далее дрейфовал в приблизительно однородном магнитном поле B_t внутри металлического канала транспортировки (5) диаметром 26 мм, затем претерпевал повторную компрессию в нарастающем поле B_c соленоида (7) и осаждался на мишени-коллекторе (9). Система транспортировки и компрессии ЭП с мишенью, удаленной на 1.2 м от катода, позволяла эффективно защитить пушку от продуктов, слетающих при электронной бомбардировке с мишени, и таким образом предотвратить пробой высоковольтного зазора пушки. Давление остаточного газа в экспериментальном приборе не превышало $10^{-5} - 10^{-6}$ Тор.

В созданной секционированной системе транспортировки измерялись токи пушки I_g , анода (2), электрода (4) I_e , трубы дрейфа (5) I_d , мишени (9) I_t и электрода (8). Для получения дополнительной информации о процессах, происходящих при формировании ЭП, производилось наблю-

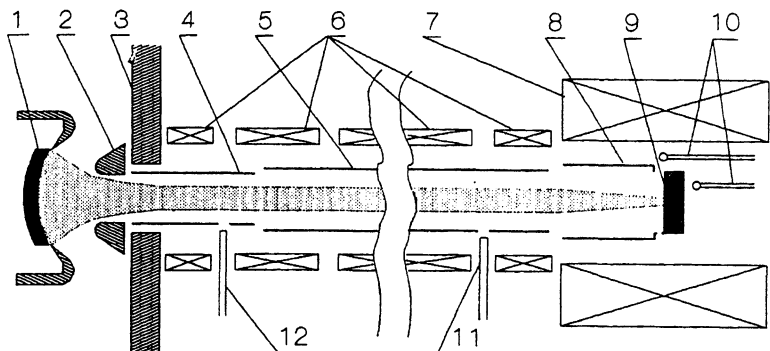


Рис. 1. Схематическое изображение системы формирования электронного пучка. 1 — термокатод, 2 — анод, 3 — магнитный экран, 4 — изолированный электрод, 5 — канал транспортировки, 6 и 7 — соленоиды, 8 — электрод, 9 — мишень-коллектор, 10 — датчики рентгеновского излучения; 11, 12 — датчики светового излучения.

дение рентгеновского (датчиками (10)) и светового (датчиками (11) и (12)) излучений из разных участков экспериментального прибора.

Измерения выполнены в режиме разовых импульсов. Регулируемое в пределах 0–40 кВ отрицательное напряжение U_c на катод пушки подавалось от емкостного накопителя, коммутируемого искровым разрядником. Колоколообразные импульсы магнитного поля имели длительность у основания 18 мс. Приведенные ниже данные получены при фиксированном напряжении $U_c \approx 30$ кВ. Ток пушки варьировался в пределах 0–4.5 А изменением температуры катода и ограничивался полем пространственного заряда. Значения магнитного поля B_t и B_c выбирались из условия минимального осаждения электронов пучка на стенки канала транспортировки при фокусировке пучка на мишени в пятно диаметром 1 мм, фиксируемое по следу на мишени, и составили 0.5 и 1.8 Тл соответственно. Таким образом, достигалась компрессия по площади ~ 1500 раз.

Ток пушки менялся слабо (менее 10% в миллисекунду), что позволило выявить принципиальные ограничения транспортировки ЭП, не связанные с ее работой. На рис. 2 показано изменение во времени токов и сигналов, характеризующих процессы в канале транспортировки. Сигналы рентгеновского датчика (10) U_r (кривая 1) отражают изменение тока быстрых электронов пучка на мишень. Падение величины U_r в области $t \geq 200$ мкс обусловлено уменьшением этого тока. Действительно, такой спад наблюдается и в сигнале мишени $I_t(t)$ (кривая 2). Обращает на себя внимание “провал” тока I_t в интервале $100 \leq t \leq 200$ мкс

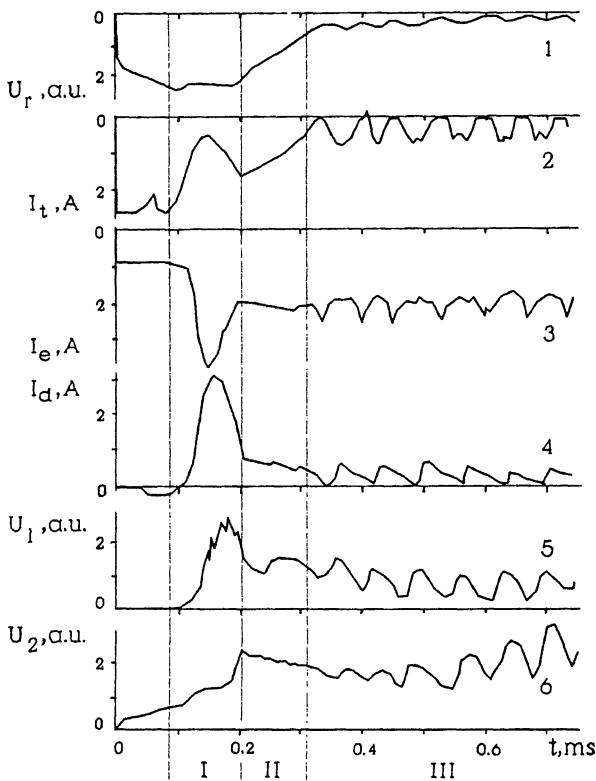


Рис. 2. Изменение во времени амплитуды сигнала с выхода рентгеновского датчика U_r (1); токов мишени I_t (2), электрода 4 I_e (3), трубы дрейфа I_d (4); интенсивности световых сигналов U_1 (5) и U_2 (6) с датчиков 11 и 12.

(участок I). Этот провал в соответствии с данными об изменении $U_r(t)$ нельзя связать с ослаблением бомбардировки мишени быстрыми электронами. Объяснить вид зависимости $I_t(t)$ удается, анализируя изменения токов I_e на электрод (4) (кривая 3) и на трубу дрейфа I_d (кривая 4), а также интенсивности светового излучения U_1 и U_2 (кривые 5, 6) с датчиков (11) и (12). Положение обсуждаемой особенности на зависимости $I_t(t)$ коррелирует с пиками характеристик $I_d(t)$ и $I_e(t)$ в интервале $100 \leq t \leq 200$ мкс. Именно на этом участке происходят резкое увеличение тока ионной полярности на трубу дрейфа и формирование пика интенсивности свечения сначала вблизи мишени, а затем и в удаленной от нее области трубы дрейфа. Можно связать поэтому особенности обсуждаемых характеристик с рождением плотной плазмы у мишени и ее распространением в сторо-

ну пушки. Эта плазма является источником ионных токов на трубу дрейфа и мишень, которые и объясняют изменение I_d и I_t на участке I. Происходящее здесь же увеличение тока I_e связано, видимо, с попаданием на электрод (4) медленных электронов из плазмы, поскольку подача на него малого (порядка 50 В) отрицательного смещения приводит к резкому падению I_e и росту токов анода и мишени на этом участке.

Взаимодействием ЭП с плотной коллекторной плазмой можно объяснить и ход характеристик в области $t \geq 200$ мкс (рис. 2, участки II, III). Их сопоставление с аналогичными кривыми, полученными при отключенном соленоиде (7),* позволяет утверждать, что спад тока на мишень на участке II определяется в основном потерями в плазме самой мишени, тогда как периодическая модуляция токов при $t \geq 300$ мкс может быть обусловлена релаксационными процессами с участием плазмы, рожденной и другими электродами, также подвергающимися интенсивной бомбардировке.

Проведенные измерения позволяют определить достижимое энерговыделение на мишени в созданной системе. В течение ~ 300 мкс на мишени выделяется ~ 20 Дж, что соответствует плотности энергии $\sim 2.0 \cdot 10^3$ Дж/см², если весь ток сосредоточен в пятне диаметром 1 мм². С учетом хода зависимости $I_t(t)$ в области III за время 5 мс, в течение которого продолжается бомбардировка мишени, на ее поверхности должно дополнительно выделиться ~ 70 Дж.

Характеристики рис. 2 получены при фиксированном токе пушки $I_g = 3.5$ А, но качественно подобны в широком интервале значений этого тока ($1 \leq I_g \leq 4.5$ А). С уменьшением I_g в указанных пределах уменьшается масштаб регистрируемых особенностей и увеличивается их задержка относительно начала импульса. При еще меньших значениях I_g токи всех электродов и сигналы рентгеновских датчиков слабо меняются во времени, вплоть до $t = 5$ мс.

Таким образом, в работе создана система формирования электронного пучка высокой плотности, выявлены принципиальные ограничения его длительности, обусловленные поглощением энергии ЭП в плазме, рождающейся при бомбардировке электродов, обнаружена периодическая модуляция части ЭП, достигающей мишени-коллектора, и выдвинута гипотеза о связи модуляции с развитием релаксационных колебаний в плазме.

* При отключенном соленоиде (7) ($B_c = 0$) из-за расфокусировки пучка резко падает плотность тока быстрых электронов на мишень и практически исключается формирование плотной коллекторной плазмы.

Авторы признательны сотруднику ИЯФ СО РАН
Г.И.Кузнецовой и сотруднику НИИ источников тока
И.К.Батраку за содействие в создании электронной пушки,
а также студенту А.В.Комашко за помощь в проведении
измерений.

Список литературы

- [1] *Milora S.L.* // J. Vac. Sci. 1989. V. 7. N 3. Pt 1. P. 925–937.
- [2] *Архипов А.В., Кутеев Б.В., Савицкий Н.Л. и др.* // Тез. докл. V Все-
союз. конф. по инженерным проблемам термоядерных реакторов.
Л., 1990. С. 155–156.

Санкт-Петербургский
государственный технический
университет

Поступило в Редакцию
28 марта 1994 г.